

II-254 ゆるやかに幅の変化する貯水池における内部段波の解析

東京工業大学大学院 学生員 鈴木研司
 東京工業大学工学部 正員 福岡捷二
 東京工業大学工学部 正員 角田 学

1. はじめに ゆるやかに幅の変化する貯水池の内部段波内の流れは、図-1に示すように中央部付近で順流、側壁付近で逆流となり、一様幅貯水池の内部段波と比べて著しく複雑になる。^{1), 2)} 本研究では、三次元内部段波の全体的な挙動を簡単なモデルで把握するために、一次元運動量方程式と連続方程式を用いて解析を行ない、実験結果の説明を試みる。また、二次元内部段波についてもあわせて検討する。実験装置および方法は第27回水講³⁾と同じである。

2. 解析 (1) 解析に用いる仮定: 図-1のように段波フロント部の前後で断面Ⅰ, Ⅱを設定し、段波の波高および逆上速度Cはxのみの関数とする。2° 壓力分布は静水圧分布をなす。3° 周囲水の段波への混入は無視する。4° 界面抵抗、側壁の摩擦抵抗は無視する。

(2) 基本方程式: Cとともに移動する座標系において、運動量方程式を次のように表わすものとする。

$$\iint_{\text{II}} P_d (U_2 + C)^2 dy dz - \iint_{\text{I}} P_d (U_1 + C)^2 dy dz = F_x \quad \dots \text{①}$$

ここで F_x は断面Ⅰ, Ⅱにかかる压力、および側壁からの圧力の総和のx方向成分である。また、連続方程式は

$$\iint_{\text{I}} U_1 dy dz - \iint_{\text{II}} U_2 dy dz = C \cdot (h_u + h_e) \cdot \frac{\bar{y}_1 + \bar{y}_2}{2} \quad \dots \text{②}$$

となる。さらに鉛直方向のつりあい関係から

$$\int P_d dz = (\rho_1 h_u + \rho_2 h_e) \cdot \frac{f + h_u + h_e}{h_u + h_e} \quad \dots \text{③}$$

が得られる。

(3) 計算結果: 以上の三式①, ②, ③に実験より得られた流速分布、密度分布を与えて C , h_u , h_e のX方向の変化について解く。図-2の(a), (b)は段波の前後で測られた任意の水平面上のx方向の流速分布をその水平面内の最大流速で無次元化したものである。これより U_1 , U_2 は次の分布形を持つことがわかる。

$$\frac{U_1(x, y, z)}{U_{1\max}} = \cos(\pi \frac{y}{\bar{y}}) \quad \dots \text{④}$$

$$\frac{U_2(x, y, z)}{U_{2\max}} = a_1 + a_2 \cos(\frac{\pi}{2} \frac{y}{\bar{y}}) + a_3 \cos(\pi \frac{y}{\bar{y}}) + a_4 \cos(\frac{3\pi}{2} \frac{y}{\bar{y}}) \quad \dots \text{⑤}$$

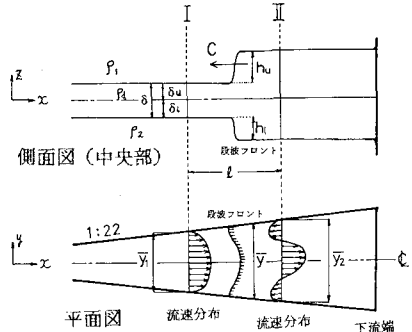
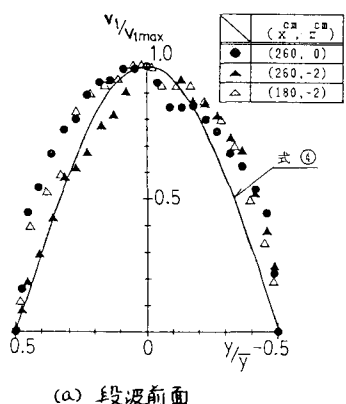
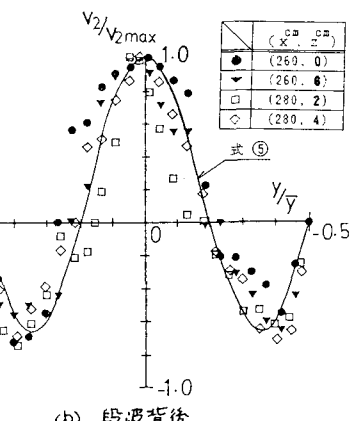


図-1. 三次元内部段波



(a) 段波前面



(b) 段波背後

図-2 水平面内無次元流速分布

$\alpha_1, \alpha_2, \alpha_3, \alpha_4$ は実測流速分布より得られる定数である。(ここで $\alpha_1 = -240, \alpha_2 = 380, \alpha_3 = -180, \alpha_4 = 40$ とする) さらに式④、⑤の $U_{1\max}, U_{2\max}$ の水深方向の変化はそれぞれ図-3(a)、(b)のようになり、次式で近似できる。

$$\begin{cases} U_{1\max} = \alpha(x) \cos(\frac{\pi}{2} \frac{Z}{d_u}) & 0 \leq Z \leq d_u \\ U_{1\max} = \alpha(x) \cos(\frac{\pi}{2} \frac{Z}{d_e}) & -d_e \leq Z \leq 0 \end{cases} \quad \text{--- (6)}$$

$$\begin{cases} U_{2\max} = \beta(x) \cos(\frac{\pi}{2} \frac{Z}{d_u + h_u}) & 0 \leq Z \leq d_u + h_u \\ U_{2\max} = \beta(x) \cos(\frac{\pi}{2} \frac{Z}{d_e + h_e}) & -d_e - h_e \leq Z \leq 0 \end{cases} \quad \text{--- (7)}$$

式⑥、⑦の α, β は x の関数である。断面 I の諸量 d, α が与えられているとき、II の断面の諸量 β, h_u, h_e を求める。実験によると、段波前後の流量 Q_1, Q_2 は段波フロント部が進上してもそれそれほぼ不变であることが確かめられているので、この関係も用いる。

速度は水深方向には直線分布、幅方向には一様である。計算にはこの他、断面 I と II の間の長さ l も必要となるため、ここでは実験から妥当と思われる値をえた。 $(l = 30 \text{ cm})$

段波の上部波高 h_u と週上速度 C について求めた計算結果と実験値を図-4(a)、(b)に示す。計算値は実験値と適合しているとは言い難い。この主要な原因として、1) 与えた流速分布形の精度が必ずしも十分でないこと、2) 波高 h_u と h_e の大小関係が、解析では底面の存在と自由水面の存在から $h_u > h_e$ となっていること、3) 側壁の抵抗力を考慮していないこと、などが挙げられる。漸縮水路での内部段波の挙動、特に段波内部の流動は複雑であるが、解析はかなり単純化して扱った。このことを考えると、得られた値のオーダーは妥当なものである。今後は、上述の問題点を考慮した解析を行なう必要がある。

(4) 一様幅貯水池内の内部段波の解析：以上の解析を一様幅の貯水池内の内部段波に適用した。幅の変化がないため、流速は幅方向に一様で逆流も生じず、段波形状は一定を保つ。¹⁾ 三次元内部段波の場合より、解析はかなり簡単になり、流速の水深方向の変化を図-3 と同様の \cos 形で与えて解いた。計算結果と実験値を図-5(a)、(b)に示す。放水を行なう場合、行なわない場合、いずれの計算値も実験値とよく適合していることがわかる。

(参考文献)

1) 福岡、稻葉、角田：第27回水理講演会論文集 1983

2) 角田、福岡、稻葉：第38回年次講演会論文集 1983

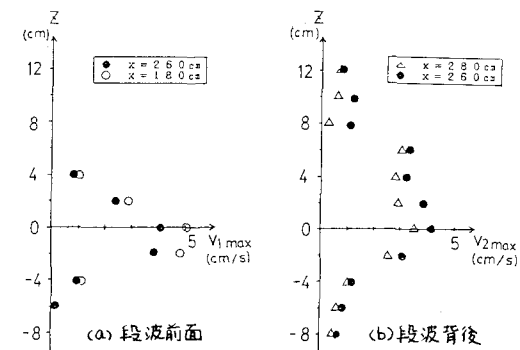


図-3. 最大流速の水深方向の変化

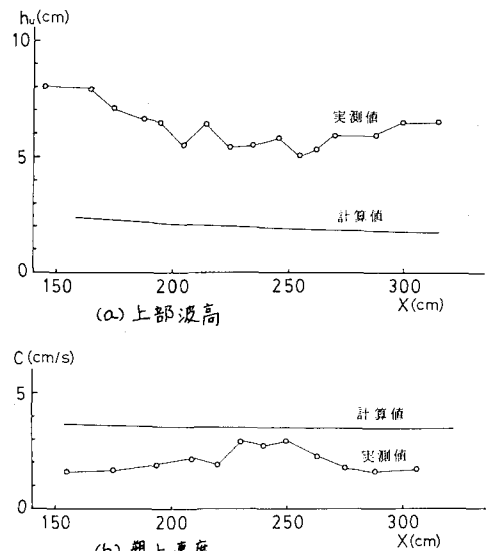


図-4 三次元内部段波の波高、週上速度

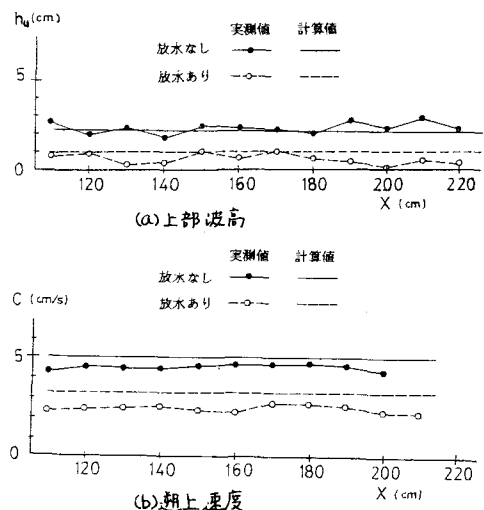


図-5 二次元内部段波の波高、週上速度